

# 偏微分方程数值解

中国科学技术大学 数学学院

张 梦 萍

办公室：东区-管理科学楼1227室

0551-63601855; mpzhang@ustc.edu.cn; 2024-09

付 杨 鑫

(办公室：东区-管理科学楼1212室)

李 顺

(办公室：东区-管理科学楼1212室)

# 第一部分：一维线性偏微分方程初值问题的有限差分方法

## 第一章：Fourier级数和三角插值

傅里叶级数理论是偏微分方程的数值方法分析研究的主要工具。

### 1 Fourier级数理论的一些常用概念与结果

首先，我们考虑用傅立叶级数表示连续复值函数。本章我们假设函数均定义在所有实数上，周期为  $2\pi$ （除特别说明之外）。

#### 1.1 Fourier级数的收敛性

##### 1. 定理

**Theorem 1.1** 假设  $f \in C^1_{(-\infty, \infty)}$  是  $2\pi$  周期的周期函数，则  $f(x)$  可由如下Fourier级数表示：
$$f(x) = \frac{1}{2\pi} \sum_{\omega=-\infty}^{\infty} \hat{f}(\omega) e^{i\omega x}。$$

其中，Fourier系数  $\hat{f}(\omega)$  为：
$$\hat{f}(\omega) = \frac{1}{2\pi} \int_0^{2\pi} f(x) e^{-i\omega x} dx。$$

且该Fourier级数一致收敛性于  $f(x)$

$C^n_{(a,b)}$ ：表示在  $(a, b)$  上的  $n$  次连续可导的函数集合。

**Theorem 1.2** 假设  $f$  是  $2\pi$  周期、分片  $C^1$  函数。若在  $a < x < b$  上  $f \in C^1_{(a,b)}$ ，则在  $(a, b)$  上的任意子区间  $a < \alpha \leq x \leq \beta < b$  上，其Fourier级数一致收敛性于  $f(x)$ 。在间断点  $x$  处，Fourier级数收敛性于  $\frac{1}{2}(f(x+0) + f(x-0))$

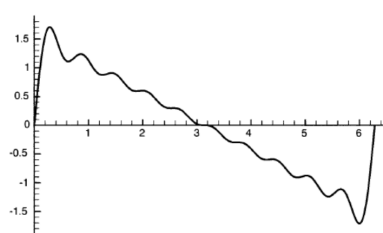
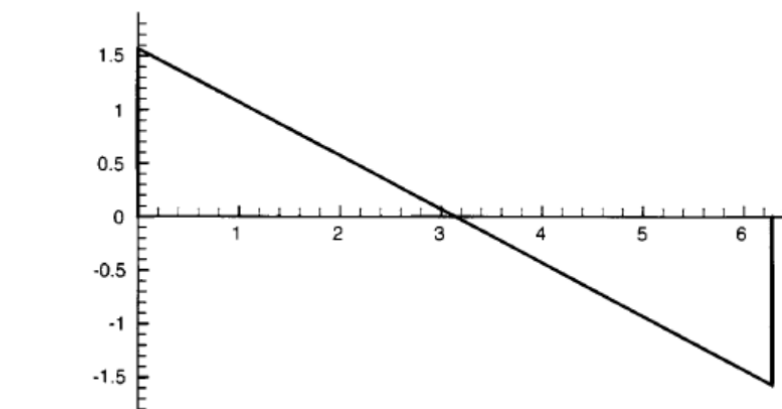


Figure 1: fig1.1.2

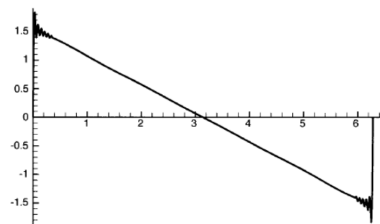


Figure 2: fig1.1.3

**Theorem 1.3** 若  $g(x)$  是  $2\pi$  周期函数, 假设它的  $p$  阶导数是分片  $C^1$  函数, 则其 Fourier 系数满足:

$$|\hat{g}(\omega)| \leq \text{constant}/(|\omega|^{p+1} + 1)$$

## 2. 锯齿函数的 Fourier 级数特性

锯齿函数  $f(x) = \frac{\pi-x}{2}$ ,  $0 < x \leq 2\pi$ ,  $f(x) = f(x + 2\pi)$

$\Rightarrow$ :  $f(x)$  是分片  $C^1$  的  $2\pi$  周期的周期函数

$f(x) = \sum_{\omega=1}^{\infty} \frac{\sin \omega x}{\omega}$ ; 且  $|\hat{f}(\omega)| \leq \text{constant}/|\omega|$ 。

取: 部分和  $f_N(x) = \sum_{\omega=1}^N \frac{\sin \omega x}{\omega}$ 。

图 fig1.1.1、fig1.1.2 和 fig1.1.3 分别给出了曲线  $f(x)$ 、 $f_{10}(x)$  和  $f_{100}(x)$ 。

由图可见: 在二个不连续点  $x = 0$ 、 $2\pi$  的邻域, 出现了明显的 Gibbs 现象; 即接近跳跃处, 出现快速振荡; 随着  $N$  增大, 振荡

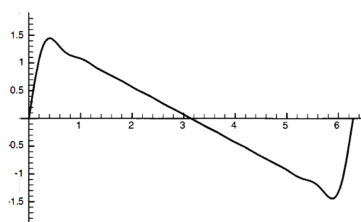


Figure 1.1.5.

Figure 3: fig1.1.5

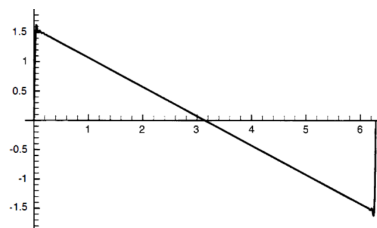


Figure 1.1.6.

Figure 4: fig1.1.6

收窄、频率加快，而且不收敛于0；越接近  $x = 0, 2\pi$ ，振荡幅度越大。

### 3. $p$ 阶导数为锯齿函数的函数的Fourier级数特性

取  $f^{(1)}(x)$  的导数为锯齿函数  $f(x) = \frac{\pi-x}{2}$ ，则有

$$f^{(1)}(x) = \int_0^x f(t)dt = \sum_{\omega=1}^{\infty} \frac{1}{\omega^2} - \sum_{\omega=1}^{\infty} \frac{\cos \omega x}{\omega^2}, \quad 0 \leq x \leq 2\pi.$$

由此可见：1)  $f^{(1)}(x)$  是Lipschitz连续函数，它的1阶导数是锯齿函数（在  $x = 0, \pm 2\pi, \pm 4\pi, \dots$  处有跳跃）；2) 其Fourier级数对所有的  $x$  一致收敛性于  $f^{(1)}(x)$ ；3) 其Fourier系数满足：  $|f^{(1)}(\omega)| \leq \text{constant}/(|\omega|^2 + 1)$ （其中：  $f^{(1)}(x)$  的1阶导数是分片  $C^1$ ）

$$\text{取： } f_N^{(1)}(x) = \sum_{\omega=1}^N \frac{1}{\omega^2} - \sum_{\omega=1}^N \frac{\cos \omega x}{\omega^2}$$

图fig2.1.1、fig2.1.2和fig2.1.3分别给出了曲线  $f^{(1)}(x)$ 、 $f_{10}^{(1)}(x)$  和  $f_{100}^{(1)}(x)$ 。

由图可见：，则：  $N \rightarrow \infty$  时，  $f_N^{(1)}(x)$  收敛于  $f^{(1)}(x)$

若  $2\pi$  周期函数  $f^{(p)}(x)$  是锯齿函数  $f(x) = \frac{\pi-x}{2}$  的  $p$  重积分，则  $f^{(p)}(x)$  的  $p-1$  阶导数连续，  $p$  阶导数有跳跃点；易得到其Fourier系数满足：

$$|f^{(p)}(\omega)| \leq \text{constant}/(|\omega|^p + 1)$$

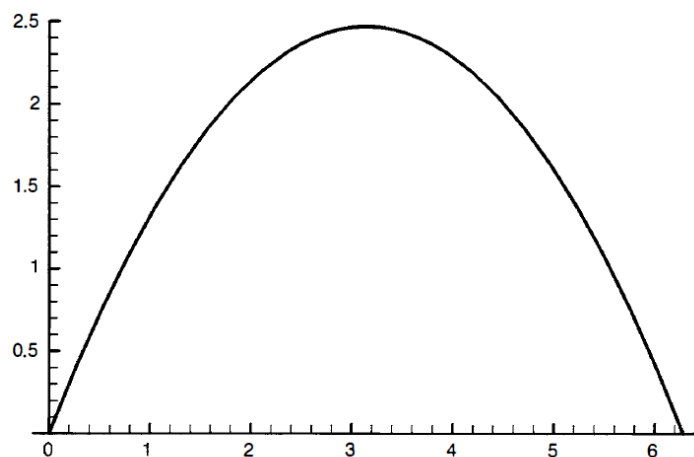


Figure 1.1.7.

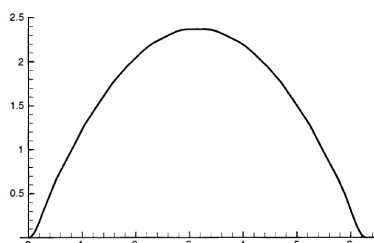


Figure 1.1.8.

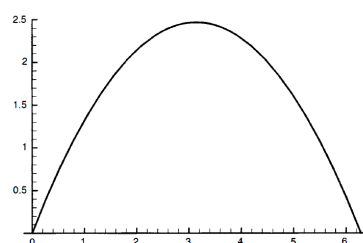


Figure 1.1.9.

Figure 5: fig2.1.2

Figure 6: fig2.1.3

对于一般的  $2\pi$  周期的、 $p$  阶导数是分片  $C^1$  的函数也有类似的性质；见定理1.3

#### 4. 定理1.3的证明

5. 一般的  $2\pi$  周期的、分片光滑的函数的研究，转换为对锯齿函数的研究

## 1.2 标量内积与 $L_2$ 模

### 1. 定义

常用的收敛性定义有：“按  $\|\cdot\|$  模收敛”和“逐点收敛”

本章若没有特别说明，则  $\|\cdot\|$  是指  $L_2$  模。

令  $\bar{f}$  为  $f$  的复共轭，则  $L_2$  标量内积与  $L_2$  模分别定义为：

- 函数  $f$  与  $g$  的内积:  $(f, g) = \int_0^{2\pi} \bar{f}(x)g(x)dx$ ,
- 函数  $f$  的  $L_2$  模:  $\|f\|_2 = (f, f)^{\frac{1}{2}} = (\int_0^{2\pi} \bar{f}(x)f(x)dx)^{\frac{1}{2}} = (\int_0^{2\pi} |f|^2 dx)^{\frac{1}{2}}$
- 序列  $\{f_\mu\}_{\mu=1}^\infty$  在平均意义下 ( $L_2$  模意义下) 收敛于  $f$ , 即:  

$$\lim_{\mu \rightarrow \infty} \|f_\mu - f\| = 0$$

标量内积是双线性的, 即:

$$(f, g) = \overline{(g, f)}, \quad (f + g, h) = (f, h) + (g, h)$$

$$(\lambda f, g) = \bar{\lambda}(f, g), \quad (f, \lambda g) = \lambda(f, g), \quad \lambda \text{ is constant scalar}$$

$$L_2 \text{ 模满足: } \|\lambda f\| = |\lambda| \cdot \|f\|, \quad |(f, g)| \leq \|f\| \cdot \|g\|,$$

$$\text{三角不等式: } \|f + g\| \leq \|f\| + \|g\|, \quad |||f\| - \|g\||| \leq \|f - g\|$$

## 2. 若干重要引理、定理

**Lemma 1.1** 指数函数  $\frac{1}{\sqrt{2\pi}}e^{inx}$ ,  $n = 0, \pm 1, \pm 2, \dots$  关于  $L_2$  标量内积是标准正交的, 即:

$$\left(\frac{1}{\sqrt{2\pi}}e^{inx}, \frac{1}{\sqrt{2\pi}}e^{imx}\right) = \begin{cases} 0 & \text{当 } m \neq n; \\ 1 & \text{当 } m = n \end{cases}$$

**Theorem 1.4** (*Bessel*不等式)

对所有的  $N$ , 有:  $\sum_{\omega=-N}^N |\hat{f}(\omega)|^2 \leq \|f\|^2$ 。

此外, 当且仅当 *Parseval*关系成立 (即:  $\sum_{\omega=-\infty}^{\infty} |\hat{f}(\omega)|^2 = \|f\|^2$ ) 时, 有:

$$\lim_{N \rightarrow \infty} \|f - S_N\|^2 = \lim_{N \rightarrow \infty} (\|f\|^2 - \sum_{\omega=-N}^N |\hat{f}(\omega)|^2) = 0;$$

$$\text{其中 } S_N = \frac{1}{\sqrt{2\pi}} \sum_{\omega=-N}^N \hat{f}(\omega) e^{i\omega x}, \quad \hat{f}(\omega) = \frac{1}{\sqrt{2\pi}} \int_0^{2\pi} e^{-i\omega x} f(x) dx。$$

$$\text{Parseval关系: } \sum_{\omega=-\infty}^{\infty} |\hat{f}(\omega)|^2 = \|f\|^2$$

$$\text{Bessel不等式 } \sum_{\omega=-N}^N |\hat{f}(\omega)|^2 \leq \|f\|^2$$

**Theorem 1.5** 任意分片连续地函数  $f$  都能展开成在  $L_2$  模意义下收敛于  $f$  的 *Fourier*级数, 即:  $f(x) = \frac{1}{\sqrt{2\pi}} \sum_{\omega=-\infty}^{\infty} \hat{f}(\omega) e^{i\omega x}$ ,  $\hat{f}(\omega) =$

$$\frac{1}{\sqrt{2\pi}} \int_0^{2\pi} e^{-i\omega x} f(x) dx = \frac{1}{\sqrt{2\pi}} (e^{-i\omega x}, f(x)); \text{ 且 } \textit{Parseval} \text{ 关系成立。}$$

证明:

1) 对所有的属于  $C^1(-\infty, \infty)$  的  $2\pi$  周期函数, *Parseval* 关系成立。

2) 若  $f$  是一个分片连续地函数, 则在  $L_2$  模意义下, 它可以被  $2\pi$  周期属于  $C^1$  的函数任意好的逼近 (实变函数中的一个

## 1.2 标量内积与 $L_2$ 模

### 1 FOURIER级数理论的一些常用概念与结果

定理) ; 即: 存在函数序列  $\{f_\mu\}$ ,  $f_\mu \in C^1$ , 且是  $2\pi$  周期的, 使得:

$$\lim_{\mu \rightarrow \infty} \|f - f_\mu\| = 0$$

$$\lim_{\mu \rightarrow \infty} \|f_\mu\| = \|f\|$$

。

$$\begin{aligned} & \left| \sum_{\omega=-\infty}^{\infty} (|\hat{f}(\omega)|^2 - |\hat{f}_\mu(\omega)|^2) \right| \\ & \leq (2(\|f\|^2 + \|f_\mu\|^2))^{\frac{1}{2}} \cdot \|f - f_\mu\|; \end{aligned}$$

$$\begin{aligned} & \|f\|^2 - \sum_{\omega=-\infty}^{\infty} |\hat{f}(\omega)|^2 \\ & \leq \lim_{\mu \rightarrow \infty} (2(\|f\|^2 + \|f_\mu\|^2))^{\frac{1}{2}} \|f - f_\mu\| \\ & \Rightarrow: \|f\|^2 = \sum_{\omega=-\infty}^{\infty} |\hat{f}(\omega)|^2 \text{ 证毕} \end{aligned}$$

由于任意  $C^1$  函数可以被  $C^\infty$  函数任意好地近似, 所以我们可以使用  $C^\infty$  函数代替  $C^1$  函数。一个“坏”函数可以用一系列光滑函数近似。

**Theorem 1.6** 若  $f, g \in L_2$ , 则  $(f, g) = \sum_{\omega=-\infty}^{\infty} \hat{f} \bar{\hat{g}}$ , 其中:

$$f(x) = \frac{1}{\sqrt{2\pi}} \sum_{\omega=-\infty}^{\infty} \hat{f}(\omega) e^{i\omega x}, \quad g(x) = \frac{1}{\sqrt{2\pi}} \sum_{\omega=-\infty}^{\infty} \hat{g}(\omega) e^{i\omega x}$$

若  $f, g$  是一般函数, 则在  $L_2$  意义下上式成立。

作业-20240912:

参考书1: page 17: 1.1.1; 1.1.2



## 2 周期性格点函数与差分算子

### 2.1 收敛速度刻画-“大O”表示

收敛速度的“大O”表示

#### 1、函数

- 定义：假设  $\lim_{h \rightarrow 0} G(h) = 0$ ,  $\lim_{h \rightarrow 0} F(h) = L$ , 若存在常数  $K > 0$ , 且对足够小的  $h$ , 有  $|F(h) - L| \leq K|G(h)|$ , 则可写成  $F(h) = L + O(G(h))$ , 即:  $F(h)$  收敛于  $L$  的速度与  $G(h)$  收敛于 0 的速度相当; 通常取  $G(h) = h^p$ ,  $p > 0$ ; 且  $p$  越大, 收敛的速度越快

#### - 例子

#### 2、序列

- 定义：假设  $\{\beta_n\}_{n=1}^{\infty}$  是一个已知收敛于 0 的序列,  $\{\alpha_n\}_{n=1}^{\infty}$  收敛于  $\alpha$ , 若存在常数  $K > 0$ , 且对大的  $n$ , 有  $|\alpha_n - \alpha| \leq K|\beta_n|$ , 则称  $\{\alpha_n\}_{n=1}^{\infty}$  收敛于  $\alpha$  的速度与  $\{\beta_n\}_{n=1}^{\infty}$  收敛于 0 的速度相当; 或  $\{\alpha_n\}_{n=1}^{\infty}$  以  $O(\beta_n)$  收敛的速度收敛于  $\alpha$ ; 记为:  $\alpha_n = \alpha + O(\beta_n)$ 。  $O(\beta_n)$  读为: 大O  $\beta_n$  通常取:  $\beta_n = \frac{1}{n^p}$ ,  $p > 0$ ,  $p$  越大, 收敛的速度越快

#### - 例子

### 2.2 周期性格点函数

将  $x$  轴用一系列点分割, 则这些点称为格点  $x_0, x_{\pm 1}, x_{\pm 2}, \dots, x_{\pm n} \dots$ ;

### 2.3 差分算子

### 2 周期性格点函数与差分算子

如均匀剖分： $x_j = j \cdot h, j = 0, \pm 1, \dots$ ；其中  $h = \frac{T}{N+1}$  是空间步长， $T$  为周期，这儿  $T = 2\pi$ 。函数  $u(x)$  在格点  $x_j$  处的值称为格点函数值  $u_j = u(x_j)$ 。周期性格点函数  $u_j = u(x_j) = u(x_j + 2\pi) = u_{j+N+1}$ 。

### 2.3 差分算子

1. 平移算子  $E = E^1$ ： $(Ev)_j \equiv v_{j+1}$

平移算子  $E$  是线性算子：

$E^p v = E^{p-1}(Ev)$ ： $(E^p v)_j = v_{j+p}$ ， $(E^{-1}v)_j = v_{j-1}$ ， $(E^0 v)_j = v_j$ ；且： $(\alpha E^p + \beta E^q)v = \alpha E^p v + \beta E^q v$ ， $\alpha, \beta$  分别是常数

2. 前差算子  $D_+$ ： $D_+ \equiv \frac{E^1 - E^0}{h}$

3. 后差算子  $D_-$ ： $D_- \equiv \frac{E^0 - E^{-1}}{h}$

4. 中心算子  $D_0$ ： $D_0 \equiv \frac{E^1 - E^{-1}}{2h}$

$$hD_+ e^{i\omega x_j} = (e^{i\omega h} - 1)e^{i\omega x_j} = (i\omega h + O(\omega^2 h^2))e^{i\omega x_j}$$

$$hD_- e^{i\omega x_j} = (1 - e^{-i\omega h})e^{i\omega x_j} = (i\omega h + O(\omega^2 h^2))e^{i\omega x_j}$$

$$hD_0 e^{i\omega x_j} = \frac{1}{2}(e^{i\omega h} - e^{-i\omega h})e^{i\omega x_j} = (i\omega h + O(\omega^3 h^3))e^{i\omega x_j}$$

### 2.4 导数的近似

$$|(D_+ - \frac{\partial}{\partial x})e^{i\omega x}| = O(\omega^2 h), \text{ 1阶近似 (1阶精度)}$$

$$|(D_- - \frac{\partial}{\partial x})e^{i\omega x}| = O(\omega^2 h), \text{ 1阶近似 (1阶精度)}$$

$$|(D_0 - \frac{\partial}{\partial x})e^{i\omega x}| = O(\omega^3 h^2), \text{ 2阶近似 (2阶精度)}$$

即： $D_+, D_-$  分别是  $\frac{\partial}{\partial x}$  的1阶近似； $D_0$  是  $\frac{\partial}{\partial x}$  的2阶近似；

高阶导数可以用上述算子的乘积近似；如：

$$(D_+ D_- v)_j = (D_- D_+ v)_j = h^2((E - 2E^0 + E^{-1})v)_j = h^2(v_{j+1} - 2v_j +$$

$v_{j-1})$ ;

$$h^2 D_+ D_- e^{i\omega x_j} = (e^{i\omega h} - 2 + e^{-i\omega h}) e^{i\omega x_j} = (-4(\sin(\frac{\omega h}{2}))^2) e^{i\omega x_j} = (-\omega^2 h^2 + O(\omega^4 h^4)) e^{i\omega x_j}$$

$\Rightarrow: |(D_+ D_- - \frac{\partial^2}{\partial x^2}) e^{i\omega x}| = O(\omega^4 h^2)$ ; 即:  $D_+ D_-$  是  $\frac{\partial^2}{\partial x^2}$  的2阶近似 (2阶精度)

## 2.5 有限维向量空间的模以及性质

考虑  $m$  维向量空间  $V_m$ ,  $\forall u = (u^{(1)}, \dots, u^{(m)}) \in V_m$ ,  $u^{(j)}, j = 1, \dots, m$  是复数,  $u^*$  是  $u$  的共轭转置, 即:  $u^* = \bar{u}^T$ 。

标量内积:  $\langle u, v \rangle = u^* v = \sum_{j=1}^m \bar{u}^{(j)} v^{(j)}$ ; 模:  $|u| = \langle u, u \rangle^{\frac{1}{2}}$

标量内积满足下列双线性关系:

$$\langle u, v \rangle = \overline{\langle v, u \rangle}, \quad \langle u + w, v \rangle = \langle u, v \rangle + \langle w, v \rangle$$

$$\langle \lambda u, v \rangle = \bar{\lambda} \langle u, v \rangle, \quad \langle u, \lambda v \rangle = \lambda \langle u, v \rangle, \quad \lambda \text{ 是复常数}$$

$$|\langle u, v \rangle| \leq |u| \cdot |v|, \quad |u + v| \leq |u| + |v|$$

$$\langle u, v \rangle \leq |u| \cdot |v| \leq \delta |u|^2 + \frac{1}{4\delta} |v|^2, \quad \text{常数 } \delta > 0$$

## 2.6 矩阵的模

设矩阵  $A = (a_{ij})_{m \times m}$ ,  $A$  的转置为:  $A^T = (a_{ji})_{m \times m}$ ;

$A$  的共轭转置为:  $A^* = (\bar{a}_{ji})_{m \times m}$ ; 其中  $a_{ij}$  是复数。

若  $u$  是  $m$  维向量空间的矢量, 则  $A$  的模为:  $|A| \equiv \max_{|u|=1} |Au|$ 。

矩阵模的性质:  $|Au| \leq |A| \cdot |u|$ ,  $|A+B| \leq |A| + |B|$ ,  $|AB| \leq |A| \cdot |B|$

若  $\lambda, u$  分别是  $A$  的特征值和相应的特征向量, 则有:  $A \cdot u = \lambda \cdot u$ 。

$A$  的谱半径为  $\rho(A) \equiv \max_j |\lambda_j(A)|$ , 且有:  $\rho(A) \leq |A|$ , 其中  $\lambda_j$  是  $A$  的

## 2.7 周期性格点函数的标量内积和模

将  $[a, b]$  区间用  $N+1$  个节点均分，空间步长为  $h$ 。对于固定的  $h$  和  $N$ ，这些节点处的函数值构成了一个矢量空间

由于我们主要是对  $h \rightarrow 0$  或  $N(h) \rightarrow \infty$  时的函数值感兴趣，而上面定义的内积，在这种极限情况下并不一定是有限的，所以需要另外定义离散的标准内积。

离散的标准内积和模： $(u, v)_h \equiv \sum_{j=0}^N \bar{u}_j v_j h$ ，及  $\|u\|_h^2 \equiv (u, u)_h$ 。

离散的标准内积是双线性的；即：

$$(u, v)_h = \overline{(v, u)_h}, \quad (u + w, v)_h = (u, v)_h + (w, v)_h$$

$$(\lambda u, v)_h = \bar{\lambda} (u, v)_h, \quad (u, \lambda v)_h = \lambda (u, v)_h, \quad \lambda \text{ 是复常数}$$

$$|(u, v)_h| \leq \|u\|_h \cdot \|v\|_h, \quad |(u, bv)_h| \leq \|b\|_\infty \cdot \|u\|_h \cdot \|v\|_h, \quad \|b\|_\infty = \max_j |b_j|$$

$$\|u + v\|_h \leq \|u\|_h + \|v\|_h, \quad |\|u\|_h - \|v\|_h| \leq \|u - v\|_h$$

若  $u, v$  是连续函数在格点的投影，则有：

$$\lim_{h \rightarrow 0} (u, v)_h = (u, v), \quad \lim_{h \rightarrow 0} \|u\|_h^2 = \|u\|^2$$

这个结论对  $C^1$  函数也是有效的

## 2.8 算子模

$$\|Q\|_h = \sup_{\|u\|_h=1} \|Qu\|_h$$

## 2.9 矢量格点函数的标量内积和模

对于矢量  $u = (u^{(1)}, \dots, u^{(m)})^T$  的格点函数，定义其内积和模：

$$(u, v)_h \equiv \sum_{j=0}^N \langle u_j, v_j \rangle h, \quad \text{及} \quad \|u\|_h^2 \equiv (u, u)_h。$$

如此定义的内积的性质；

$$(u, v)_h = \overline{(v, u)_h}, \quad (u + w, v)_h = (u, v)_h + (w, v)_h$$

$$(\lambda u, v)_h = \bar{\lambda} (u, v)_h, \quad (u, \lambda v)_h = \lambda (u, v)_h, \quad \lambda \text{ 是复常数}$$

$$|(u, v)_h| \leq \|u\|_h \cdot \|v\|_h, \quad \|u + v\|_h \leq \|u\|_h + \|v\|_h, \quad | \|u\|_h - \|v\|_h | \leq \|u - v\|_h$$

$$\text{若 } A \text{ 是常系数矩阵, 则有: } |(Au, v)_h| \leq |A| \cdot \|u\|_h \cdot \|v\|_h$$

$$\text{若 } A = A_j \text{ 是一个节点函数矩阵, 则有: } |(Au, v)_h| \leq \max_j |A_j| \cdot \|u\|_h \cdot \|v\|_h$$

### 3 三角插值

对给定的未知函数  $f(x)$  的若干点的函数值构造  $f(x)$  的近似函数  $\varphi(x)$

插值：构造上述近似函数  $\varphi(x)$  的一个过程。其中近似函数  $\varphi(x)$  称为“插值函数”。当“插值函数”为“三角函数”，则称为三角插值

#### 3.1 三角插值

令  $u \in P_h$  是一个  $2\pi$  周期的格点函数

问题：将  $[0, 2\pi]$  均分为  $N + 1$  个小区间，节点为  $x_0, \dots, x_N$ ,  $x_j = j \cdot h$ ,  $j = 0, 1, \dots, N$ ,  $h = \frac{2\pi}{N+1}$ ,  $u_j = u(x_j)$ ,  $u_j = u_{j+1+N}$ 。寻求唯一（存在唯一）的  $\phi(x)$  使得  $u_j = \phi(x_j)$ ,  $u_j = u_{j+1+N}$ , 且  $\phi(x)$  是三角函数：

- $N$  是偶数，则三角多项式是对称的，即从  $-\frac{N}{2}$  到  $\frac{N}{2}$ ： $\phi(x) = \frac{1}{\sqrt{2\pi}} \sum_{\omega=-\frac{N}{2}}^{\frac{N}{2}} \tilde{u}(\omega) e^{i\omega x}$ ；  
其中  $\tilde{u}(\omega)$  由  $u_j = \phi(x_j) = \frac{1}{\sqrt{2\pi}} \sum_{\omega=-\frac{N}{2}}^{\frac{N}{2}} \tilde{u}(\omega) e^{i\omega x_j}$ ,  $j = 0, 1, \dots, N$  确定。

- $N$  是奇数，则三角多项式是非对称的，且  $-\frac{N+1}{2} + 1 \leq \omega \leq \frac{N+1}{2}$

为方便起见，我们假设  $N$  是偶数

**Lemma 3.1** 指数函数  $e^{i\nu x}$ ,  $\nu = 0, \pm 1, \pm 2, \dots, \frac{N}{2}$  关于离散内积是正交的，即：

$$(e^{i\nu x}, e^{i\mu x})_h = \begin{cases} 0, & 0 < |\nu - \mu| \leq N; \\ 2\pi, & \nu = \mu \end{cases}$$

**Theorem 3.1** 满足  $u_j = \phi(x_j)$ ,  $j = 0, 1, \dots, N$ , 的三角插值:

$$\phi(x) = \frac{1}{\sqrt{2\pi}} \sum_{\omega=-\frac{N}{2}}^{\frac{N}{2}} \tilde{u}(\omega) e^{i\omega x}$$

是唯一的, 且

$$\tilde{u}(\omega) = \frac{1}{\sqrt{2\pi}} (e^{i\omega x}, u)_h$$

**Theorem 3.2** 若  $\phi(x)$ 、 $\psi(x)$  分别满足:  $\phi(x_j) = u_j$ ,  $\psi(x_j) = v_j$ ,  $j = 0, 1, \dots, N$ , 的三角插值;

$\phi(x) = \frac{1}{\sqrt{2\pi}} \sum_{\omega=-\frac{N}{2}}^{\frac{N}{2}} \tilde{u}(\omega) e^{i\omega x}$ ,  $\psi(x) = \frac{1}{\sqrt{2\pi}} \sum_{\omega=-\frac{N}{2}}^{\frac{N}{2}} \tilde{v}(\omega) e^{i\omega x}$ ; 则有:

$$(1) (u, v)_h = \sum_{\omega=-\frac{N}{2}}^{\frac{N}{2}} \tilde{u}(\omega) \tilde{v}(\omega) = (\phi, \psi)$$

$$(2) \|\phi\|^2 = \sum_{\omega=-\frac{N}{2}}^{\frac{N}{2}} |\tilde{u}(\omega)|^2 = \|u\|_h^2$$

$$(3) \|D_+^l u\|_h^2 \leq \|\frac{d^l}{dx^l} \phi\|^2 \leq (\frac{\pi}{2})^{2l} \|D_+^l u\|_h^2, \quad l = 0, 1, \dots。$$

### 3.2 $\hat{u}(\omega)$ 与 $\tilde{u}(\omega)$ 关系

考虑  $2\pi$  周期的周期函数  $u$ , 假设  $u$  可以用 Fourier 级数表示,

$$\text{即: } u(x) = \frac{1}{\sqrt{2\pi}} \sum_{\omega=-\infty}^{\infty} \hat{u}(\omega) e^{i\omega x},$$

其格点函数的三角插值为:  $\phi(x) = \frac{1}{\sqrt{2\pi}} \sum_{\omega=-\frac{N}{2}}^{\frac{N}{2}} \tilde{u}(\omega) e^{i\omega x}$ ;

讨论  $\hat{u}(\omega)$  与  $\tilde{u}(\omega)$  关系

**Lemma 3.2** 若  $|\omega| \leq \frac{N}{2}$ ,  $\tilde{u}(\omega) = \sum_{l=-\infty}^{\infty} \hat{u}(\omega + l(N+1))$ 。尤其是:

若  $|\omega| > \frac{N}{2}$ ,  $\hat{u}(\omega) = 0$ ; 则有: 三角插值  $\phi(x) = u(x)$ 。

**Theorem 3.3** 假设  $u$  是  $2\pi$  周期的周期函数, 其 Fourier 系数满足下列关

系:  $|\hat{u}(\omega)| \leq \frac{c}{|\omega|^m}$ ,  $\omega \neq 0$ ,  $m > 1$ ; 则有:

$$\|u(\cdot) - \phi(\cdot)\|_{\infty} \leq \frac{2c}{\sqrt{2\pi}} \left(\frac{N}{2}\right)^{1-m} \left(\frac{1}{m-1} + \frac{2(N+1)}{N} B_m\right),$$

### 3.2 $\hat{u}(\omega)$ 与 $\tilde{u}(\omega)$ 关系

### 3 三角插值

其中  $B_m = \sum_{j=1}^{\infty} (\frac{1}{2j-1})^m$ ,  $u(x) = \frac{1}{\sqrt{2\pi}} \sum_{\omega=-\infty}^{\infty} \hat{u}(\omega) e^{i\omega x}$ ,  
 $\phi(x) = \frac{1}{\sqrt{2\pi}} \sum_{\omega=-\frac{N}{2}}^{\frac{N}{2}} \tilde{u}(\omega) e^{i\omega x}$ ,  $\|u(\cdot)\|_{\infty} = \sup_{0 \leq x \leq 2\pi} |u(x)|$ 。

推论：存在常数  $C_l$ ，使得：

$$\left\| \frac{d^l}{dx^l} u(x) - \frac{d^l}{dx^l} \phi(x) \right\|_{\infty} \leq C_l \left(\frac{N}{2}\right)^{1+l-m}, \quad 1+l < m$$

### 作业-20240914:

参考书1: P24, 1.2.1、1.2.2;

参考书1, p37:1.5.1, 1.5.2

补充作业:

试证：参考书1中P26的定理1.3.3中公式 (1.3.4)；以及当N为奇数时，写出P26页相应的定理1.3.2，并证明之。

### 大作业1 (20240914)

求下述偏微分方程初值问题在时刻  $t = 0.3$  的近似解：

$$\begin{cases} u_t = u_x, & -\infty < x < \infty, t > 0, \\ u(x, 0) = \sin(2\pi x), & -\infty < x < \infty, \\ \text{周期性边界条件, 且周期为: } 1 \end{cases}$$

该方程的精确解为  $u(x, t) = \sin(2\pi(x + t))$ ，对时空区域  $[0, 1], [0, 1]$  剖分(均分)如下：

时间：  $t_n = n \cdot \Delta t$ ,  $n = 0, 1, 2, \dots, N$ , 时间步长  $\Delta t = \frac{1}{N}$ 。

空间：  $x_j = j \cdot \Delta x$ ,  $j = 0, 1, 2, \dots, J$ , 空间步长  $\Delta x = \frac{1}{J}$ 。

记  $v_j^n \approx u(x_j, t_n)$ ，时间导数近似  $u_t \approx \frac{u(x, t+\Delta t) - u(x, t)}{\Delta t}$ ，空间导数分别



用前差  $u_x \approx \frac{u(x+\Delta x, t) - u(x, t)}{\Delta x}$  和  $u_x \approx \frac{u(x+\Delta x, t) - u(x-\Delta x, t)}{2\Delta x}$ 。得到离散方程A:  $v_j^{n+1} = v_j^n + \frac{\Delta t}{\Delta x}(v_{j+1}^n - v_j^n)$  和离散方程B:  $v_j^{n+1} = v_j^n + \frac{\Delta t}{2\Delta x}(v_{j+1}^n - v_{j-1}^n)$ 。

定解条件: 初始条件:  $v_j^0 = \sin(2\pi x_j)$ , 边界条件:  $v_j^n = v_{j+J}^n$ 。

**问题1:** 取  $\Delta x = 0.02$ ,  $\Delta t = 0.01$ , 分别用离散方程A和离散方程B求上述偏微分方程初值问题在时刻  $t = 0.3$  的近似解和精确解(画图)。

**问题2:** 取  $\Delta x = 0.02$ ,  $\Delta t = 0.03$ , 分别用离散方程A和离散方程B求上述偏微分方程初值问题在时刻  $t = 0.3$  的近似解, 并画图比较精确解和精确解(画图)。

**问题3:** 对上述实验结果进行描述, 分析并评论。